

Aplicação de Krigeagem bi e unidimensional para a modelagem do avanço da pluma de rejeitos da barragem de Fundão no rio Doce

Disciplina: Introdução ao Geoprocessamento
SER300

Alunos:

Daniel Andrade Maciel
Rogério Flores Jr.

Professores Responsáveis:

Dr. Antônio Miguel Vieira Monteiro;
Dr. Cláudio Barbosa



Fonte: Google Imagens



Divisão do trabalho

- Introdução
- Metodologia
- Resultados / Discussões
- Conclusões

Introdução

- A importância da água;
- Acidente de Mariana;
- Monitoramento ANA



Fonte: Google Imagens

Metodologia



Resultados e discussão

Semivariogramas



Aparentemente, melhor ajuste para os dados univariados:
Melhor ajuste que Chen, Yeh e Wei (2012).

Todos ajustados pelo método a semente e modelo Gauassiano.

Resultados e discussão

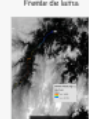
Validação Cruzada



Interpolação

Resultados e discussão

Fronteira lama



Conclusões

- Foi possível interpolar e observar a variação das taxas de infiltração de rejeito no leito do Rio Doce;
- A interpolação unidimensional não mostrou resultados tão bons quanto a interpolação bidimensional;
- Os resultados mostraram que o resultado da simulação total é mais eficiente que a simulação parcial;
- Foi possível observar o impacto da pluma de contaminantes no Rio Doce.

Referências

- ABREU, L. A. Modelagem da dispersão de sedimentos no leito do Rio Doce. 2010.
CHAMBERS, J. E., R. FOGG, Z. X. CHAIHUA, et al. Análise visuográfica de dados hidrológicos e hidrometeorológicos para previsão de precipitação. 2010.
BRASIL, S. S. DE. TERRAS DE INFILTRAÇÃO DO MUNICÍPIO DE MARLIANA. 2014.
BRASIL, S. S. DE. TERRAS DE INFILTRAÇÃO DO MUNICÍPIO DE MARLIANA. 2014.
COSTA, L. C. & R. H. VIEIRA. 2012. Estudo de risco ambiental para a instalação de uma usina hidrelétrica na bacia hidrográfica do Rio Doce. In: 10º Seminário Brasileiro de Engenharia Ambiental e Sustentabilidade (SBEAS), Belo Horizonte, MG, Brasil, 10 a 12 de outubro de 2012. Belo Horizonte, MG: Universidade Federal de Minas Gerais.

OBRIGADO !

Olá, sou o Daniel Andrade Maciel.
Engenheiro civil graduado pela UFSCar.
Curto pesquisas e programação.
Desejo que este trabalho possa ser útil para vocês.
Fiz um esforço considerável para elaborá-lo.
Obrigado pelas suas críticas construtivas.
Até mais!

Aplicação de Krigeagem bi e unidimensional para a modelagem do avanço da pluma de rejeitos da barragem de Fundão no rio Doce

Disciplina: Introdução ao Geoprocessamento
SER300

Alunos:

Daniel Andrade Maciel
Rogério Flores Jr.

Professores Responsáveis:

Dr. Antônio Miguel Vieira Monteiro;
Dr. Cláudio Barbosa



Fonte: Google Imagens

Divisão do trabalho

- Introdução
- Metodologia
- Resultados / Discussões
- Conclusões

Introdução

- A importância da água;
-
- Acidente de Mariana;
-
- Monitoramento ANA



Fonte: Google Imagens

Geoestatística

-> Estimar os valores de sólidos em locais não amostrados;

Hipótese:

Dados de qualidade d'água possuem alta dependencia espacial

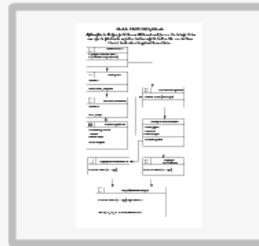
Objetivo

- Analisar a técnica de brigagem que melhor se adequa para o rio Doce na época do acidente;
- Espaciarizar os dados de concentração de sólidos totais;
- Avaliar o avanço da pluma de contaminação

Objetivo

- Avaliar a técnica de krigagem que melhor se adequa para o rio Doce na época do acidente;
- Espacializar os dados de concentração de sólidos totais;
- Avaliar o avanço da pluma de contaminação

Metodologia



Informações

Bacia do rio Doce - possui área de drenagem de 88.715 km².
- 86% no estado de Minas Gerais.
- 14% no território do Espírito Santo.

Rio Doce - Serra da Mantiqueira e na Serra do Espinhaço.
- 879 km de extensão.
- 5º maior bacia hidrográfica do Brasil.
- 11 mil pescadores vivem da pesca.
- Essencial para a cadeia produtiva local.

Fonte: Google Imagens

Histórico

Sec. XIX - Exploração dos recursos madeireiros
- Principalmente Exportação.

Sec XX - Criação da estrada de ferro Vitória a Minas:
- Escoamento da produção
- Incentivo a urbanização na calha do rio Doce
- Início das Indústrias mineiro-siderúrgicas

1960 - Declínio madeireiro - "Vale do Aço".
- Companhia Vale do Rio Doce

Fonte: Google Imagens

Após o acidente

60 bilhões de litros de rejeitos.
- Desestabilização da dinâmica fluvial.
- Distúrbios ecológicos.
- Assoreamento.
- Descaracterização da calha do rio.

Fonte: Google Imagens

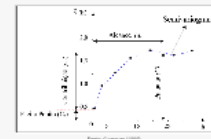
Dados

- Monitoramento Especial rio Doce
• ANA, CPRM e IGAM
• Sólidos Totais (mg / L)

- Classificação do rio Doce
• Imagens Landsat 8 OLI
• Res. Espacial 30m;
• 2015

Análises

- Análise exploratória -> R (R CORE TEAM, 2017).
- Semivariogramas -> geoR (Ribeiro e Digle, 2016)
- Gaussiano, à sentimento.

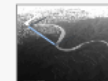


Modelos estatísticos -> geoR;
Validação Cruzada -> geoR;
Krigagem -> ArcGis 10.2

Krigagem Bidimensional

- Coordenadas UTM, SIRGAS 2000 23 Sul;
- Não é bem representativo do curso d'água.

Porque?

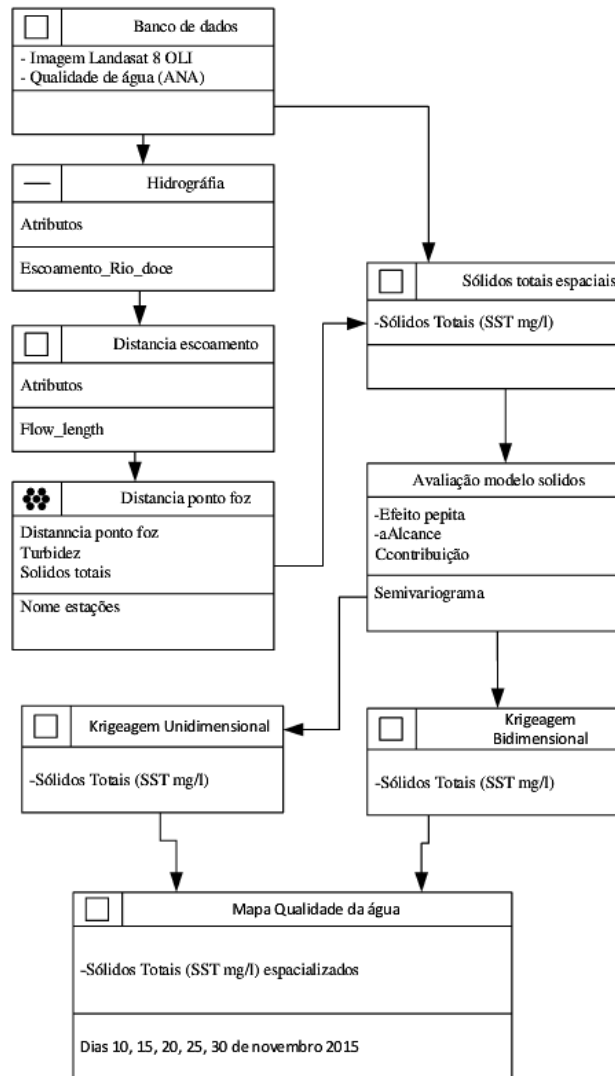


Krigagem Unidimensional

- Leva em consideração a distância dentro do curso d'água;
- Distância do ponto inicial em relação aos outros pontos (No segmento do rio)



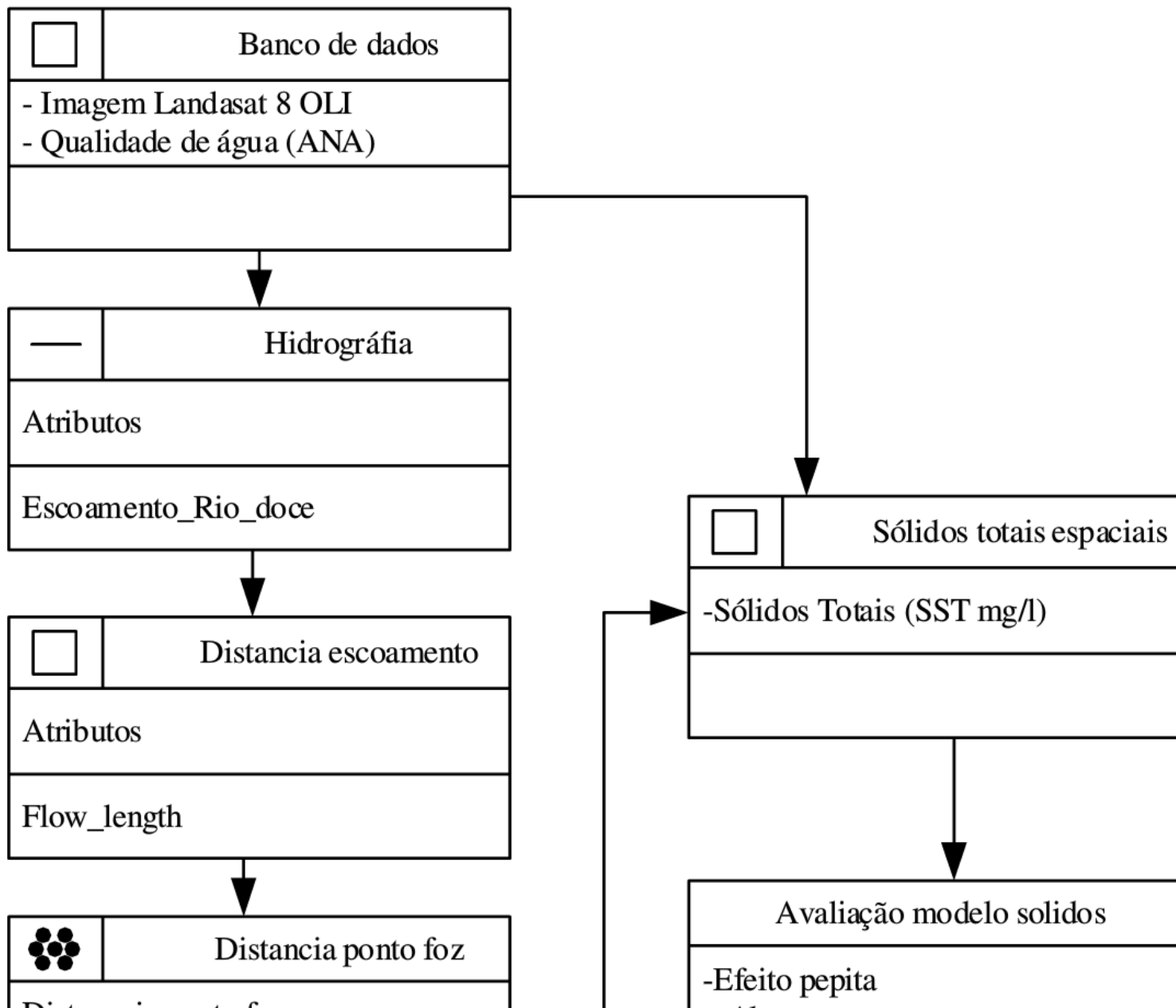
Modelo OMT-G Simplificado
Aplicação de Krigagem bi e unidimensional para a modelagem do avanço da pluma de rejeitos da barragem de Fundão no rio Doce
 Daniel Andrade e Rogério Flores Júnior

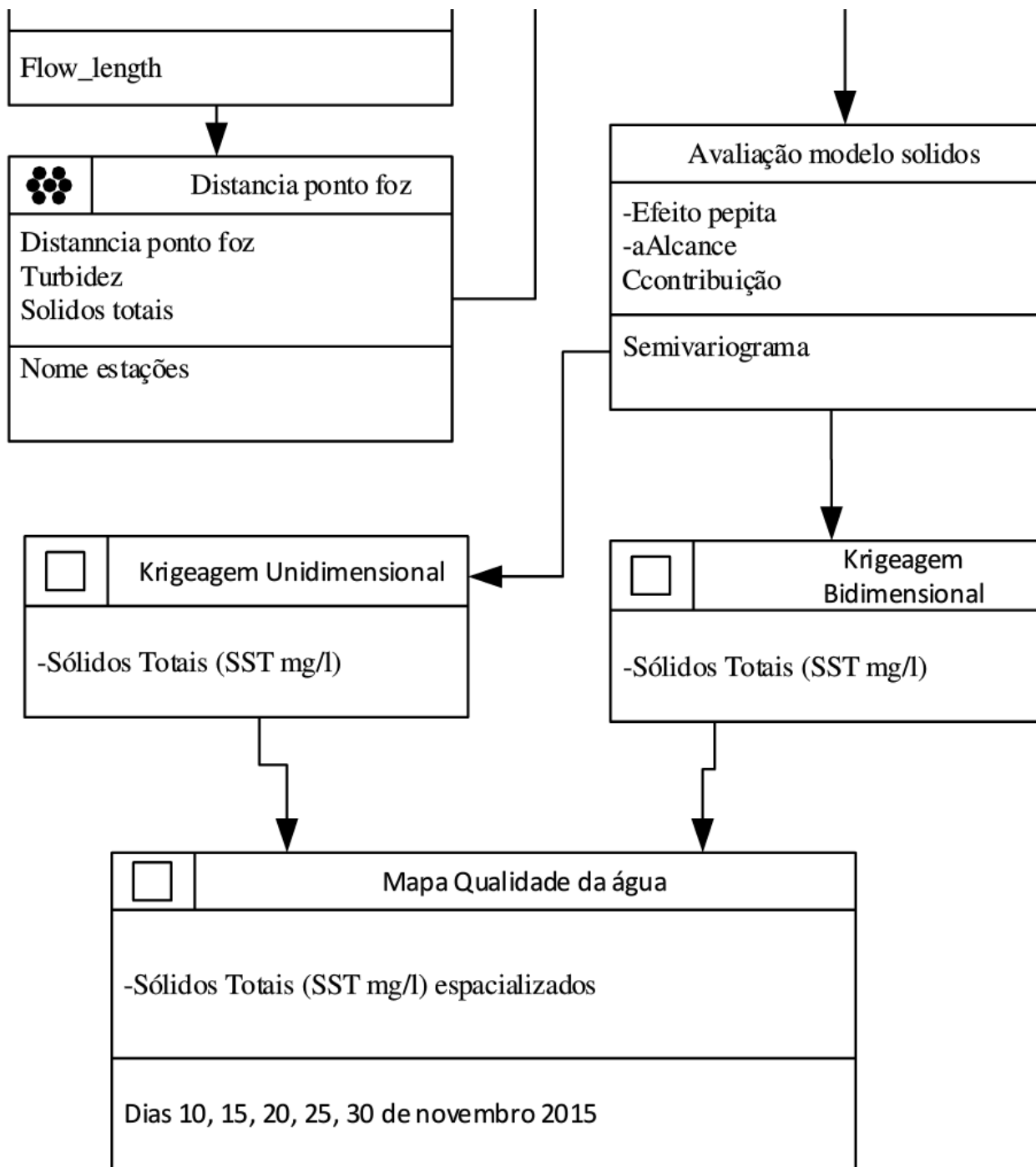


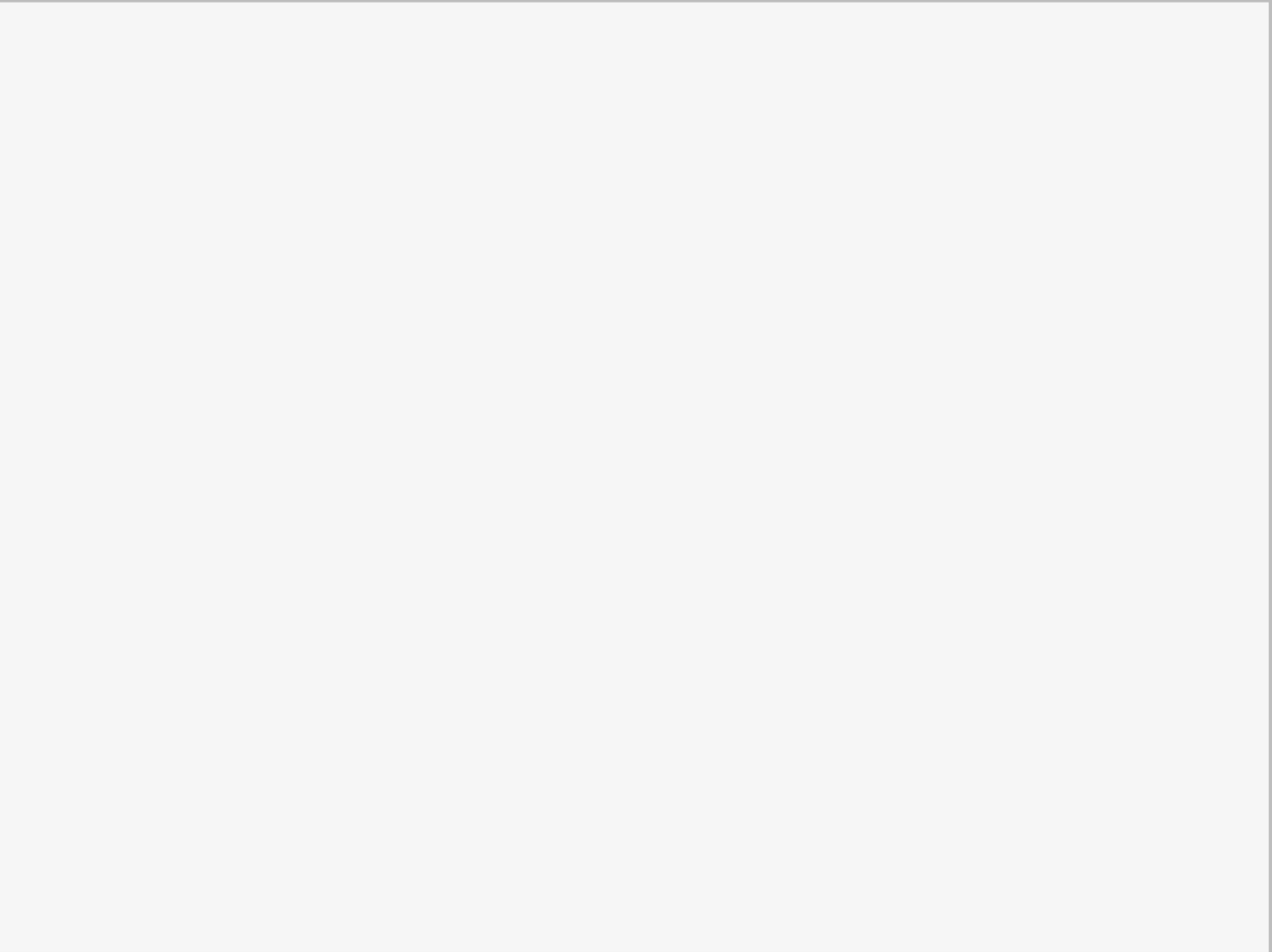
Modelo OMT-G Simplificado

Aplicação de Krigeagem bi e unidimensional para a modelagem do avanço da pluma de rejeitos da barragem de Fundão no rio Doce

Daniel Andrade e Rogério Flores Júnior







Informações

Bacia do rio Doce - possui área de drenagem de 86.715 km².

- 86% no estado de Minas Gerais.

- 14% no território do Espírito Santo.

Rio Doce - Serra da Mantiqueira e na Serra do Espinhaço .

- 879 km de extensão.

- 5^a maior bacia hidrográfica do Brasil.

- 11 mil pescadores viviam da pesca.

- Essencial para o setor produtivo local.



Fonte: Google Imagens

Histórico

Sec. XIX - Exploração dos recursos madeireiros
-Principalmente Exportação.

Sec XX - Criação da estrada de ferro Vitória a Minas:

- Escoamento da produção
- Incentivo a urbanização na calha do rio Doce
- Inicio das Industrias mineiro-siderurgica

1960 - Declínio madeireiro - "Vale do Aço".

- Companhia Vale do Rio Doce



Fonte: Google Imagens

Após o acidente

60 bilhões de litros de rejeitos.

- Desestabilização da dinâmica fluvial.
- Disturbios ecológicos.
- Assoreamento.
- Descaracterização da calha do rio.



Fonte: Google Imagens

- Disturbios ecológicos.
- Assoreamento.
- Descaracterização da calha do rio.



Fonte: Google Imagens

Dados

Monitoramento Especial rio Doce

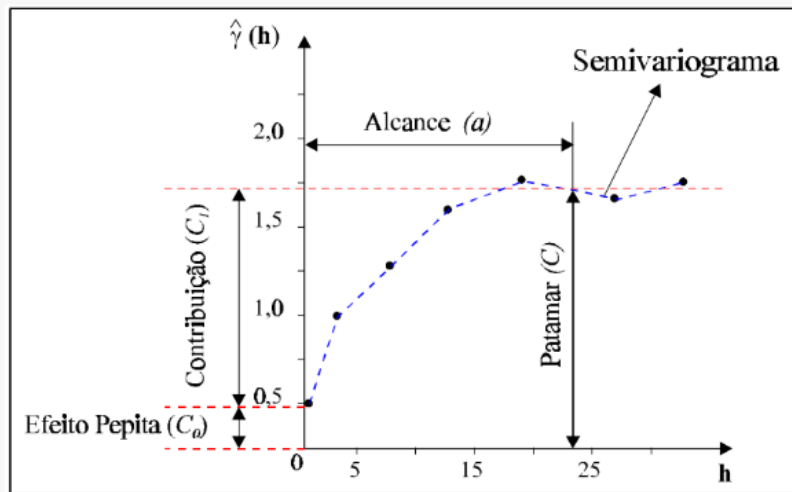
- ANA, CPRM e IGAM
- Sólidos Totais (mg / L)

Classificação do rio Doce

- Imagens Landsat 8 OLI
- Res. Espacial 30m;
- 2015

Análises

- Análise exploratória -> R (R CORE TEAM, 2017).
- Semivariogramas -> geoR (Ribeiro e Digle, 2016)
- Gaussiano, à sentimento.



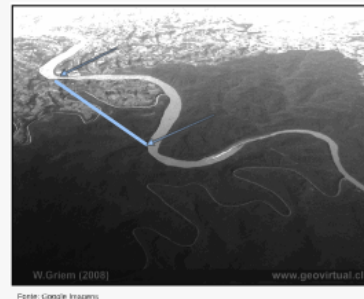
Fonte: Camargo (1998).

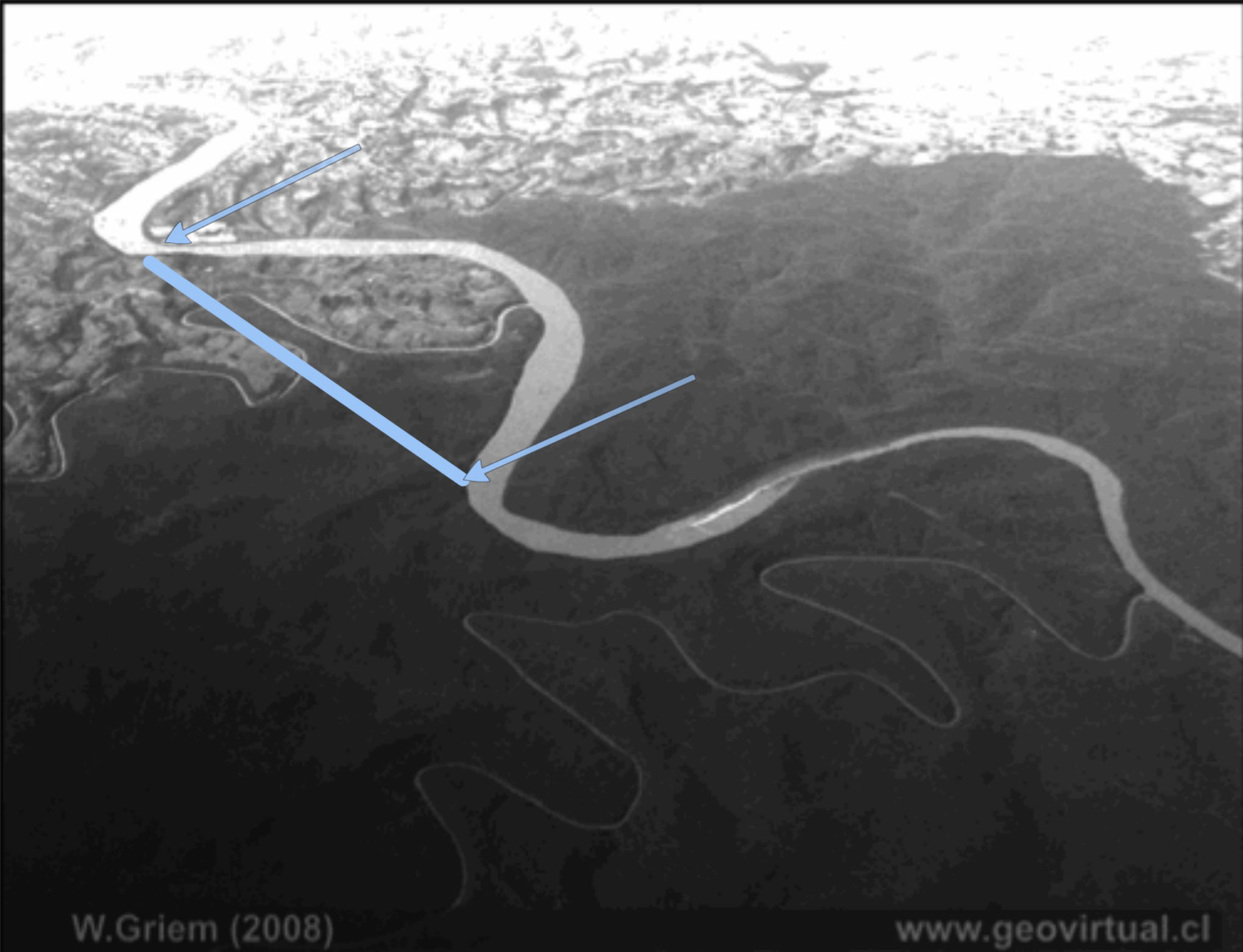
Modelos estatísticos -> geoR;
Validação Cruzada -> geoR;
Krigagem -> ArcGis 10.2

Krigagem Bidimensional

- Coordenadas UTM, SIRGAS 2000 23 Sul;
- Não é bem representativo do curso d'água.

Porque?





Krigagem Unidimensional

- Leva em consideração a distância dentro do curso d'água;
- Distância do ponto inicial em relação aos outros pontos (No segmento do rio)

Estação	Distância (km)
Rio Doce - IGAM	0
Rio Córrego - IGAM	54
Mariápolis - IGAM	102
Córrego Novo - CPBM	108,00
Ipatinga - IGAM	110
Belo Oriente - IGAM	170
Belo Oriente - CPBM	180
Grajaú - IGAM	200
Grajaú - CPBM	208
Guarani - IGAM	228
Guarani - CPBM	236
Gen. Vargas - IGAM	272
Gen. Vargas - CPBM	277
Tenente Hugo - IGAM	316,8
Conselheiro Pena - IGAM	333,4
Requejando - IGAM	342,4
Alexandre - IGAM	340,4

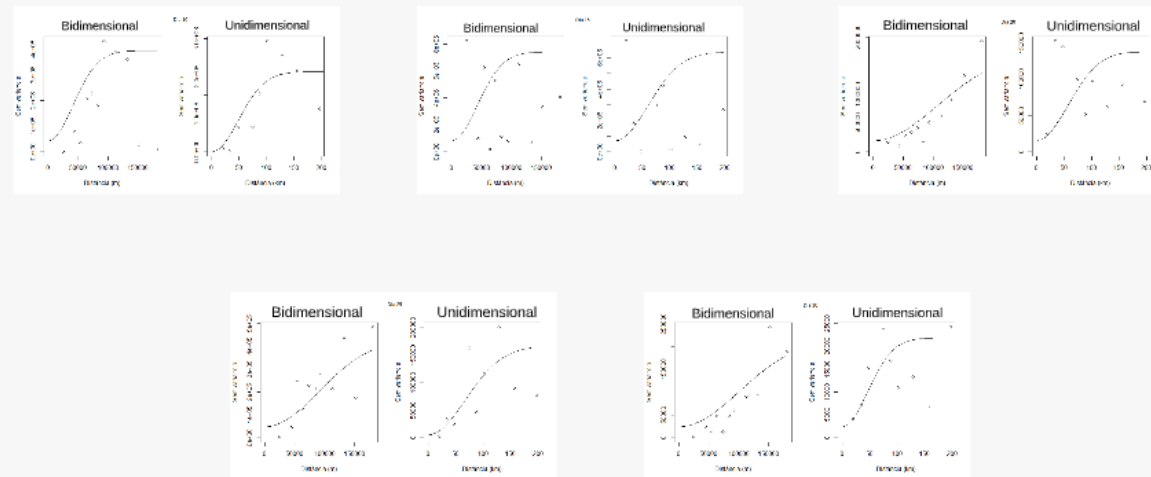


Estação	Distância (km)
Rio Doce - IGAM	0
Rio Casca - IGAM	54
Mariléia - IGAM	102
Córrego Novo - CPRM	106
Ipatinga - IGAM	148
Belo Oriente - IGAM	176
Belo Oriente - CPRM	180
Gov. Valadares Montante - IGAM	256
Gov. Valadares - CPRM	258
Gov. Valadares Jusante - IGAM	272
Tumiritinga - IGAM	298,8
Conselheiro Pena - IGAM	333,4
Resplendor - IGAM	366,4
Aimorés - IGAM	390,4

Fonte: Google Imagens

Resultados e discussão

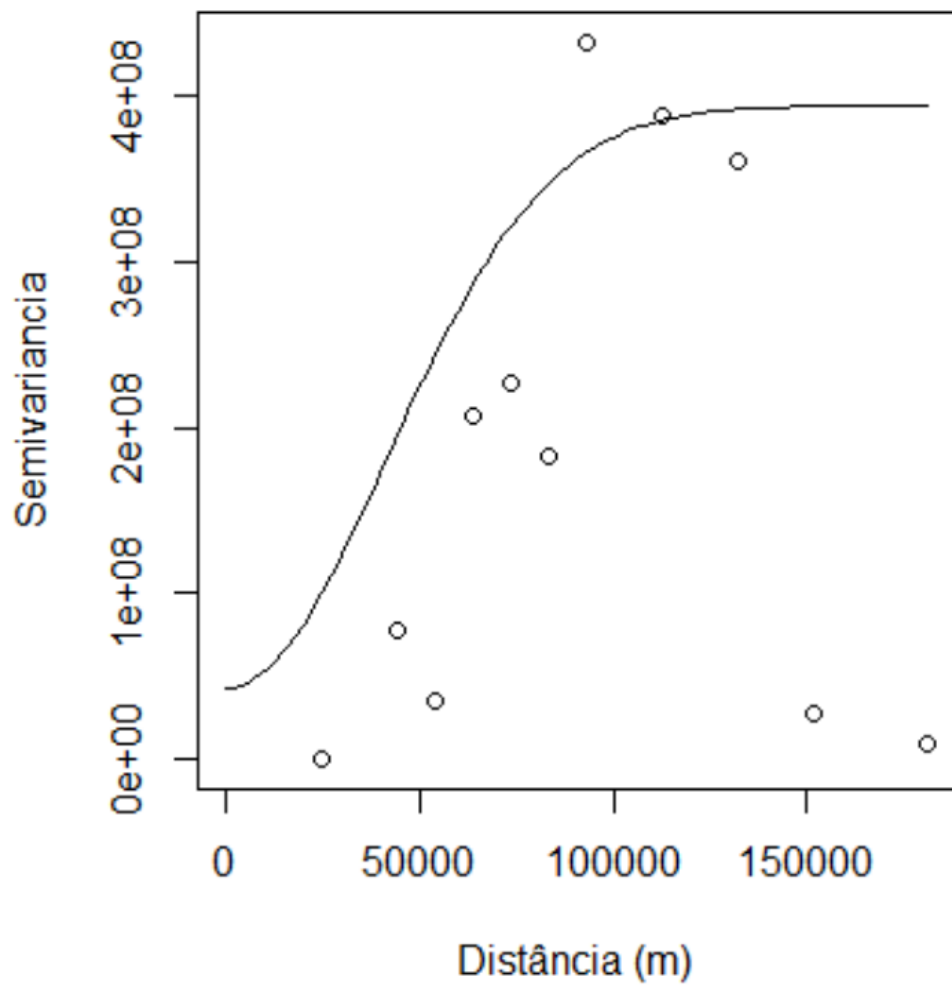
Semivariogramas



Aparentemente, melhor ajuste para os dados univariados;
Melhor ajuste que Chen, Yeh e Wei (2012).

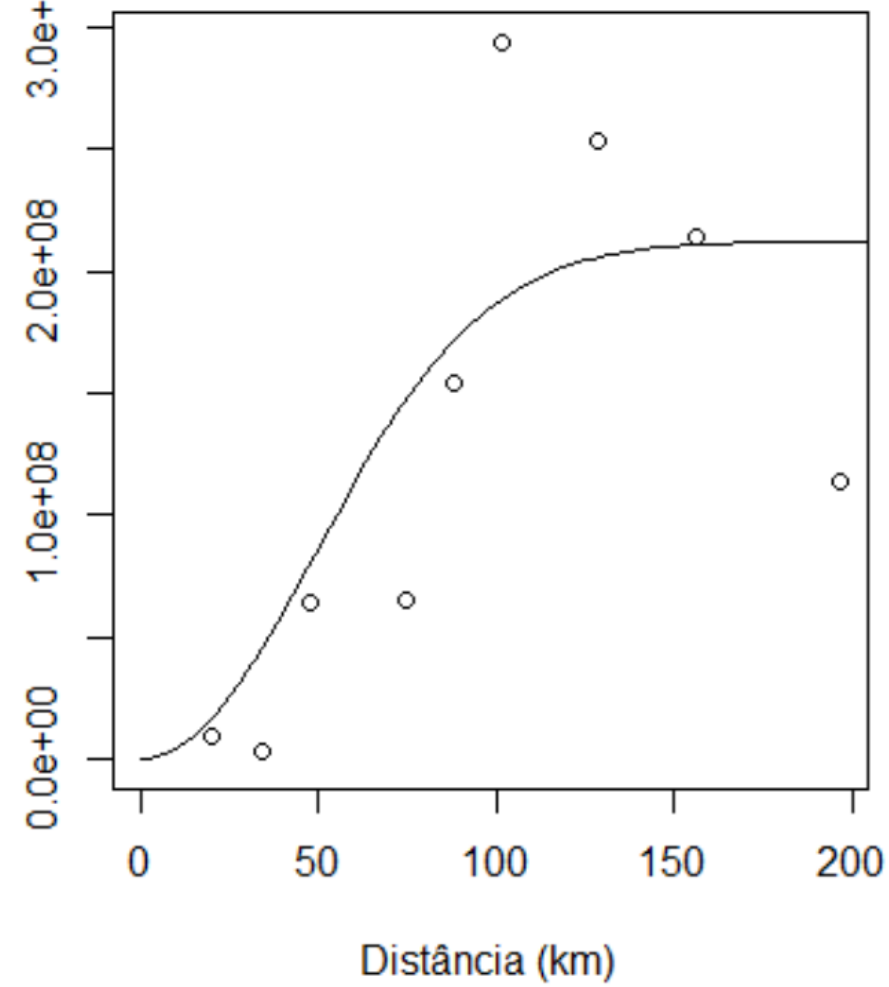
Todos ajustados pelo método à sentimento e modelo Gaussiano.

Bidimensional

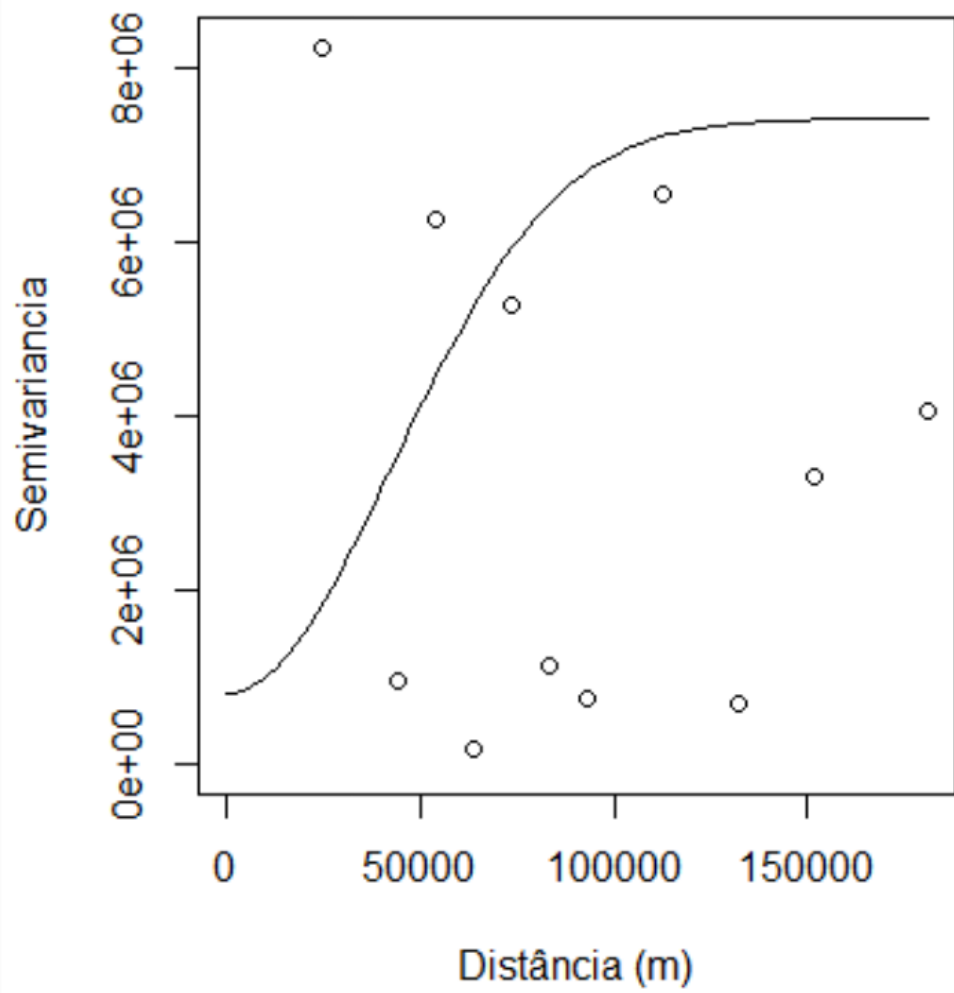


Dia 10

Unidimensional

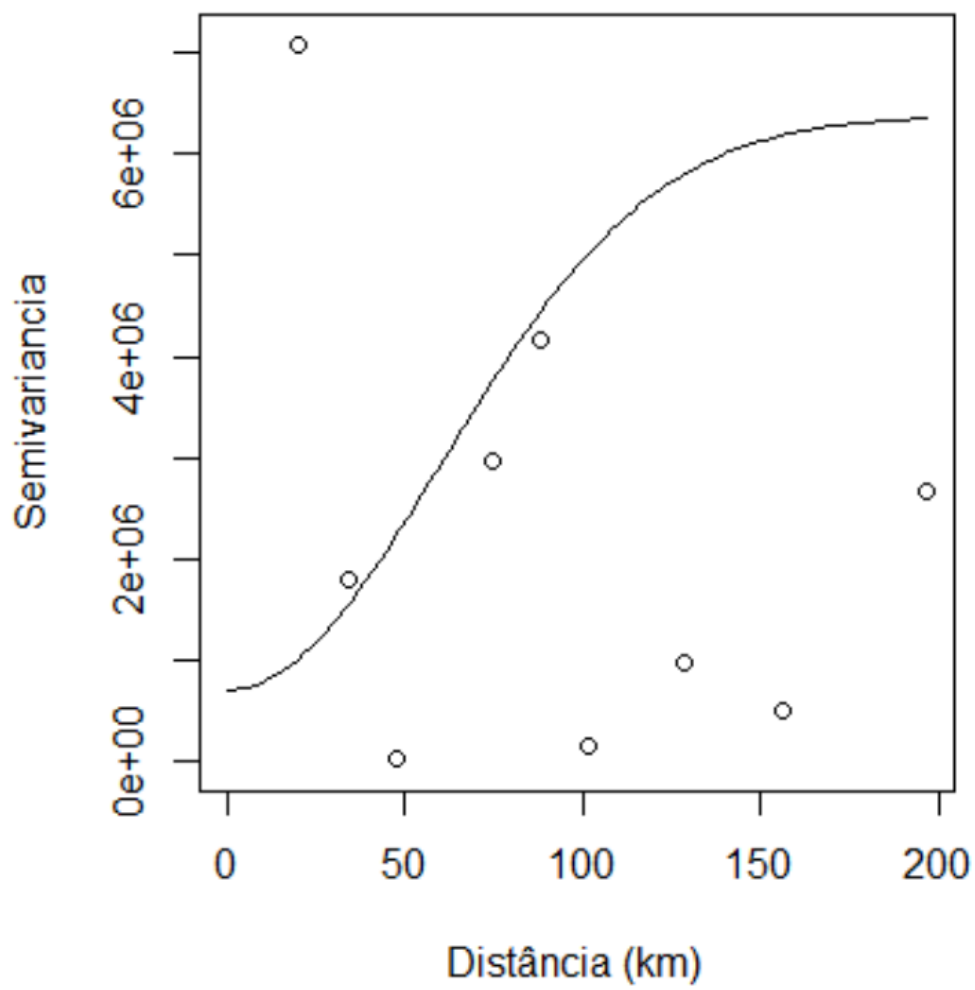


Bidimensional

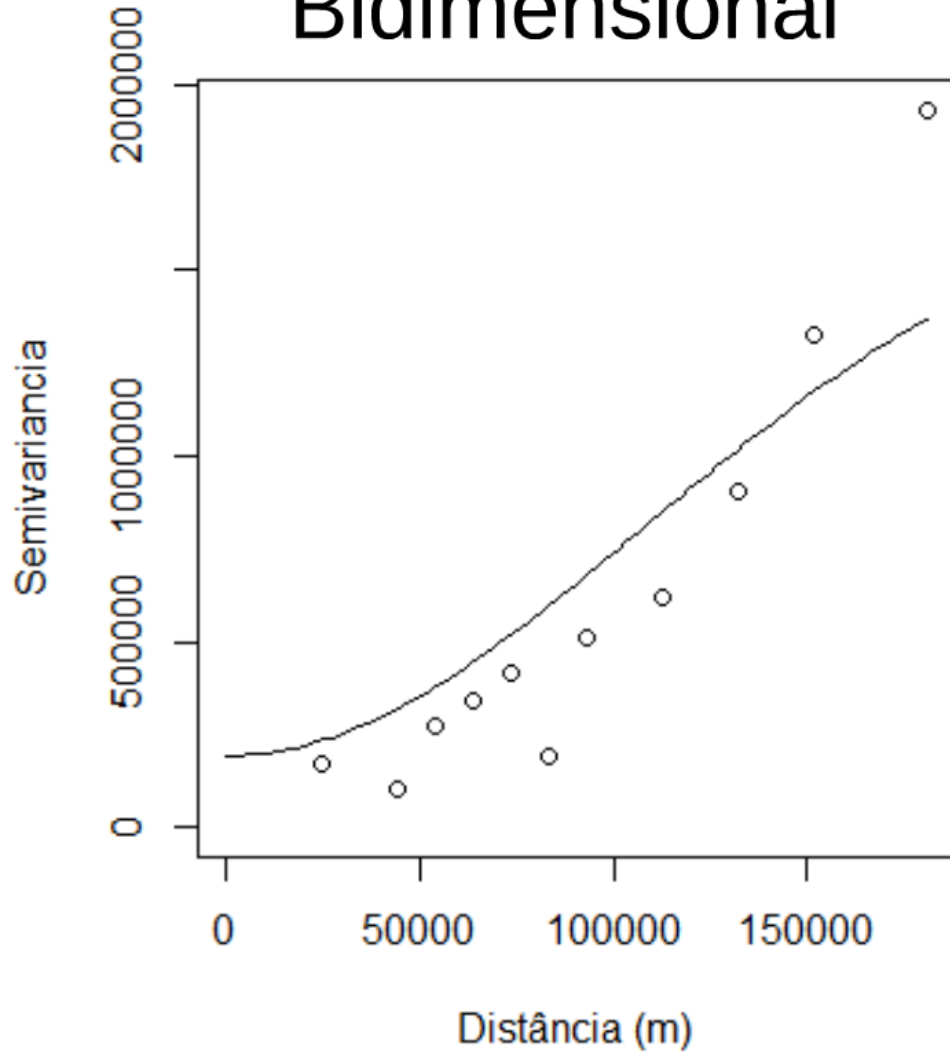


Dia 15

Unidimensional

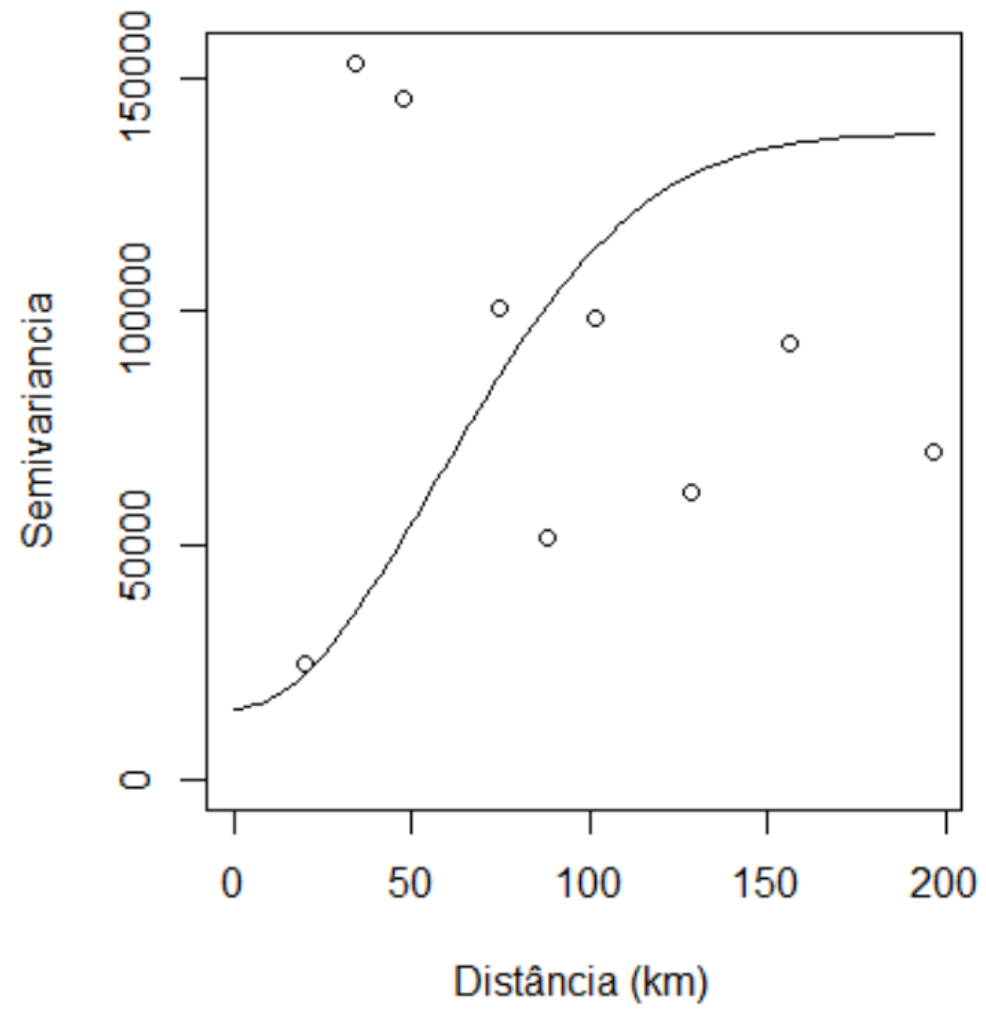


Bidimensional

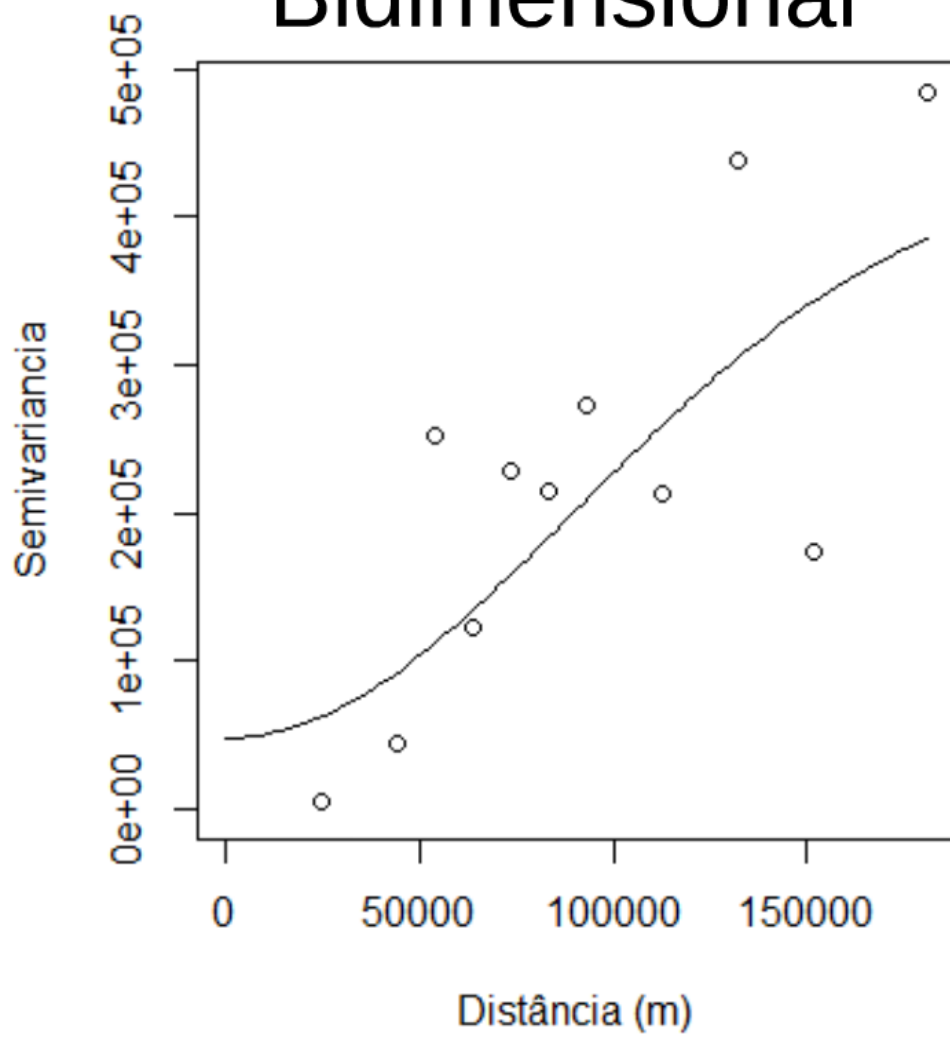


Dia 20

Unidimensional

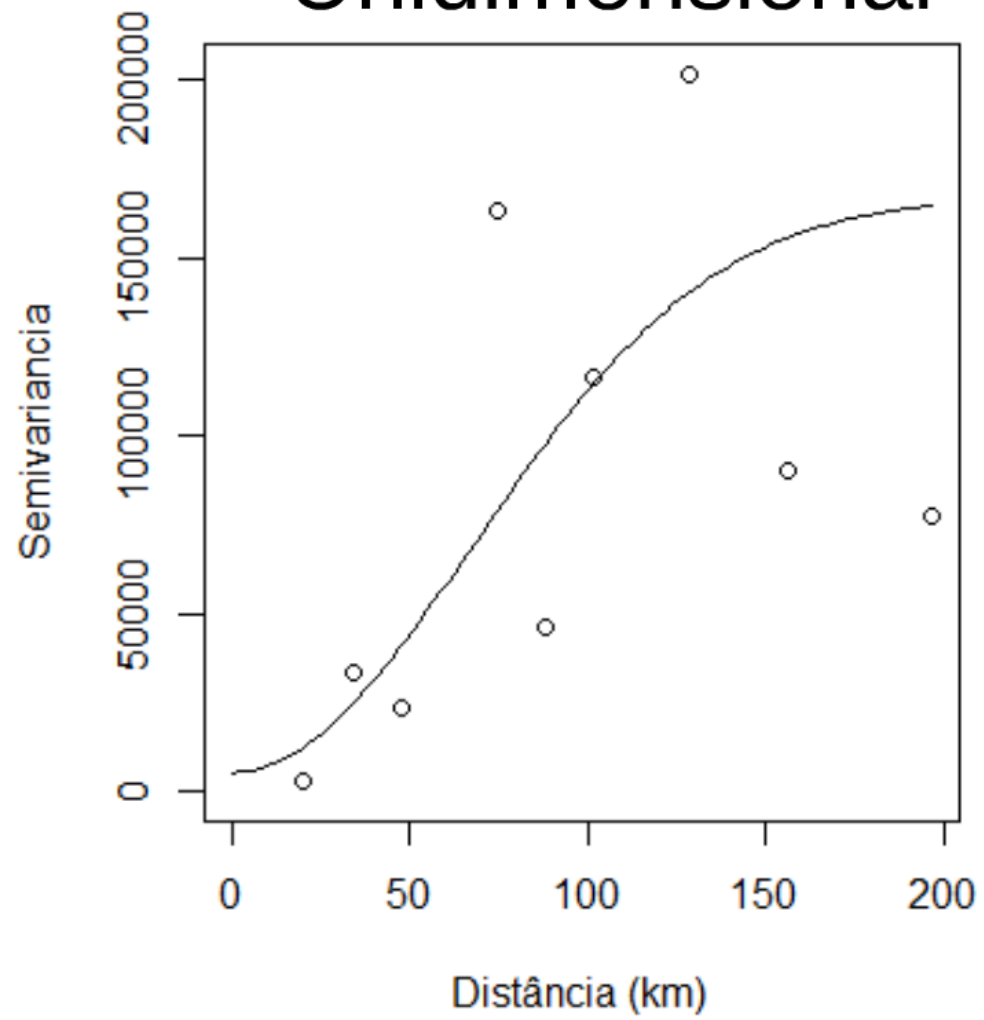


Bidimensional

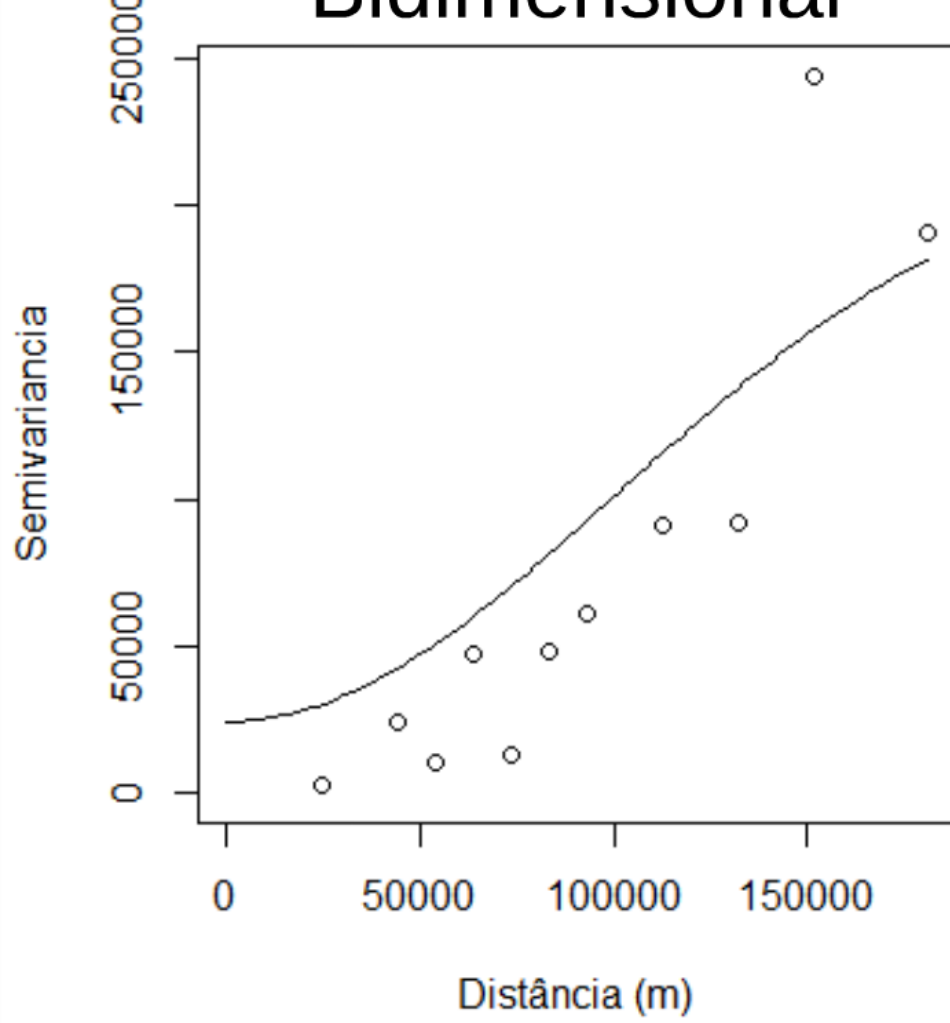


Dia 25

Unidimensional

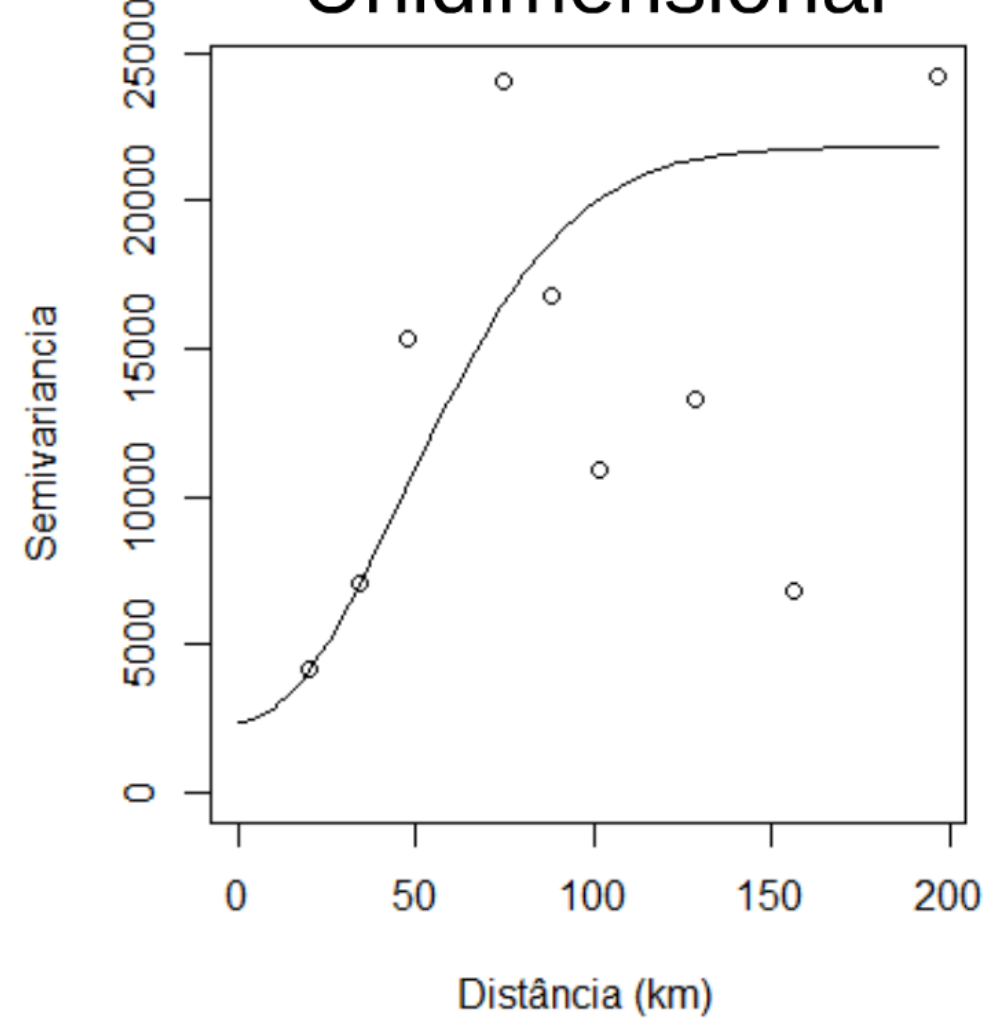


Bidimensional

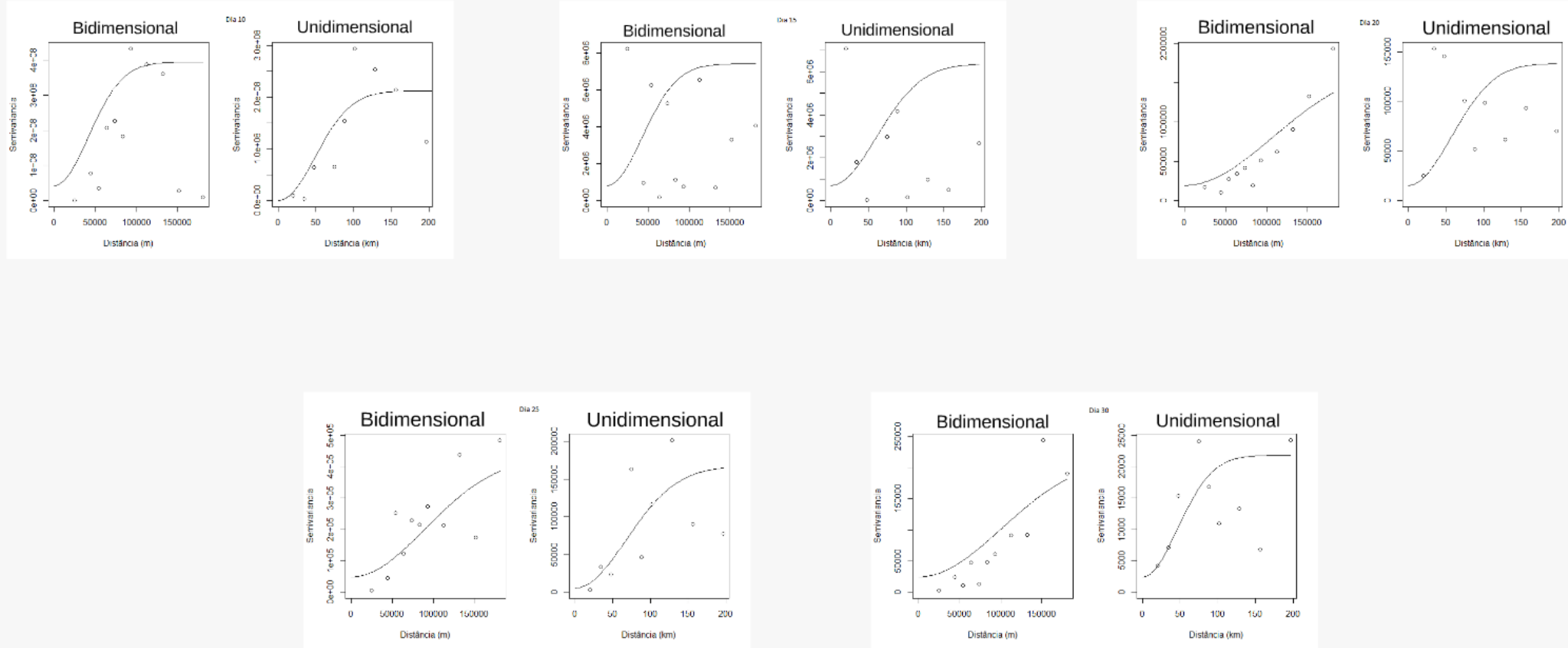


Dia 30

Unidimensional



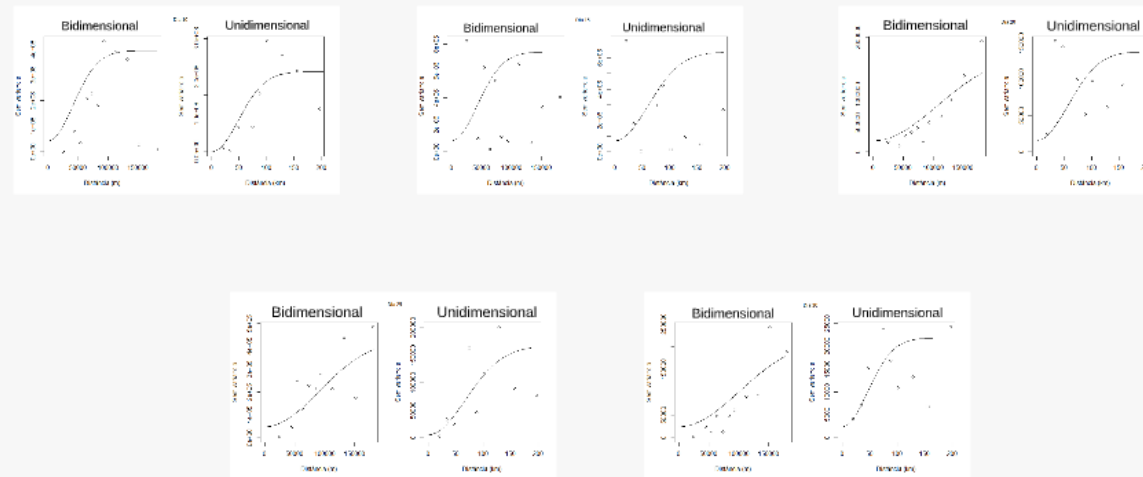
Semivariogramas



mente, melhor ajuste para os dados univariados;
isto que Chen, Voh e Wei (2012)

Resultados e discussão

Semivariogramas



Aparentemente, melhor ajuste para os dados univariados;
Melhor ajuste que Chen, Yeh e Wei (2012).

Todos ajustados pelo método à sentimento e modelo Gaussiano.

Resultados e discussão

- Validação Cruzada

Dia	Bidimensional		Unidimensional	
	Erro	R ²	Erro	R ²
10	-0,039	0,938	0,38	0,85
15	-0,79	-0,09	0,35	-0,063
20	-0,02	0,62	0,17	0,61
25	-0,05	0,26	-0,31	0,81 ←
30	1,82	-0,01	0,14	0,95 ←

Corroboram com os resultados de Mokih et al., (2011)

- Interpolação

	Mg Bidimensional	Mg Unidimensional
10	0,000	0,000
15	0,000	0,000
20	0,000	0,000
25	0,000	0,000
30	0,000	0,000

Resultados e Discussão

ação Cruzada

Dia	Bidimensional		Unidimensional	
	Erro	R ²	Erro	R ²
10	-0,039	0,938	0,38	0,85
15	-0,79	-0,09	0,35	-0,063
20	-0,02	0,62	0,17	0,61
25	-0,05	0,26	-0,31	0,81 ←
30	1,82	-0,01	0,14	0,95 ←

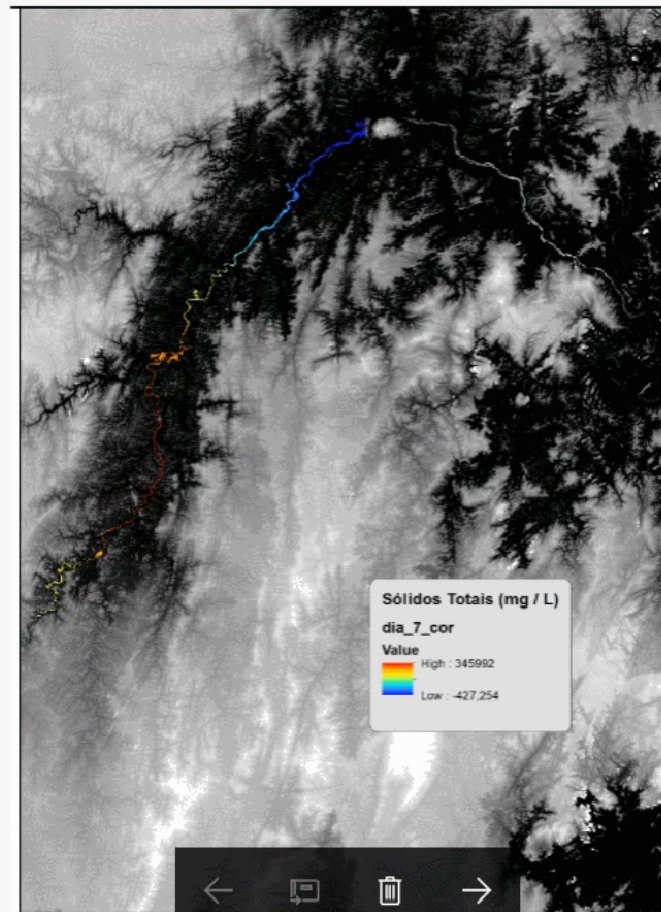
Corroboram com os resultados de Mokih et al., (2011)

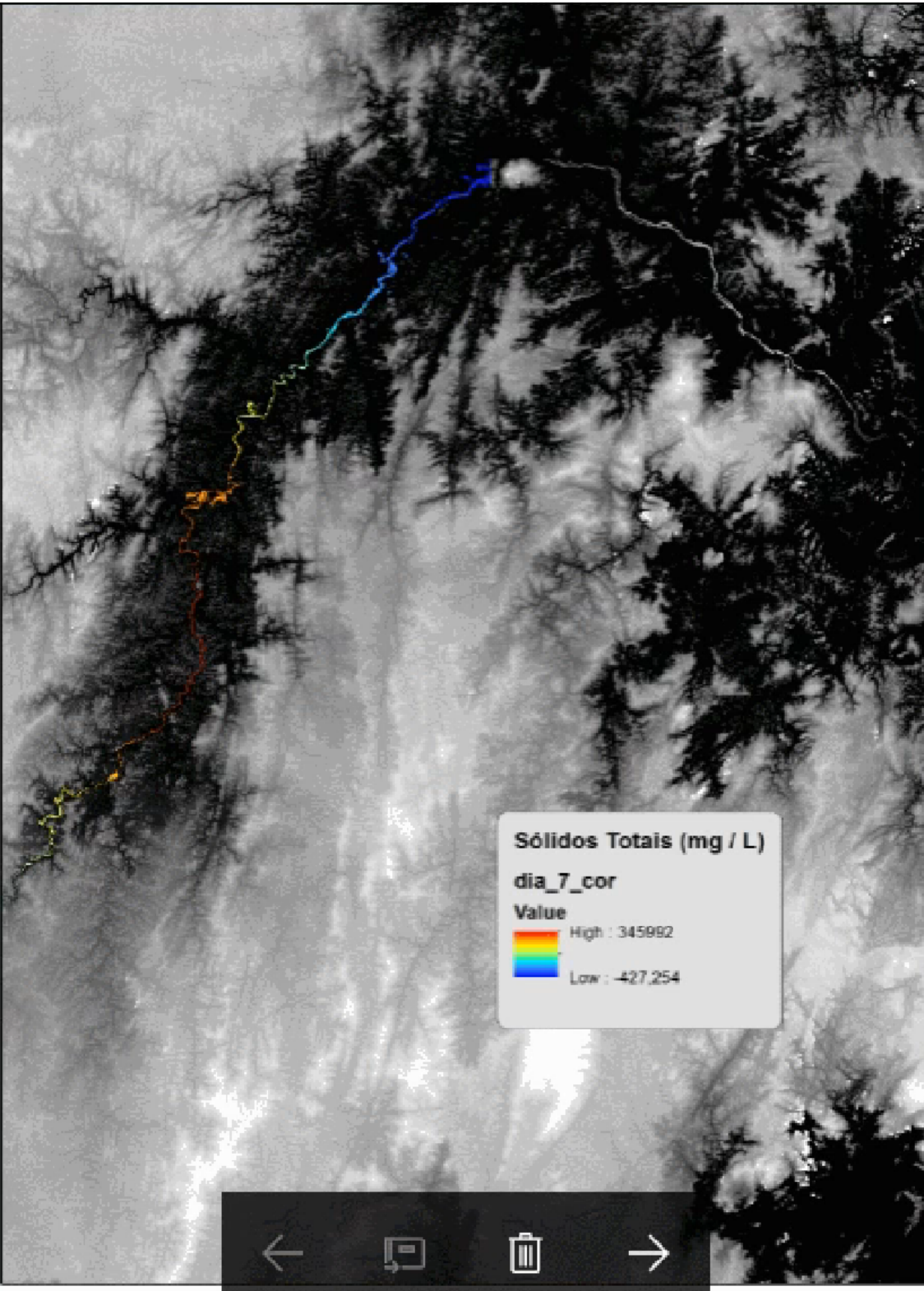
Interpolação

Dias	Krig. Bidimensional		Krig. Unidimensional		% Média	Desvio Padr
	Média	esvio Padrâ	Média	esvio Padrâ		
10	9755	11765,5	14494,7	11172,94	32,69954	-5,30353
15	1905,5	129,4	1526,6	304,9	-24,8199	57,55986
20	1708,89	573,4	2023,3	659,3	15,53947	13,02897
25	1238,3	383,4	1336,3	381,5	7,333683	-0,49803
30	614,5	251,3	762,1	291,6	19,36754	13,8203

Resultados e discussão

Frente de lama





Conclusões

- Foi possível espacializar e observar a variação dos dados de sólidos totais no rio Doce ao longo do tempo;
- A Krigeagem unidimensional se mostrou com melhores resultados que a bidimensional, pelos testes de validação cruzada.
- Os resultados médios entre os valores de sólidos totais e seu desvio padrão foram bem próximos.
- Foi possível observar o avanço da pluma de contaminação no rio Doce.

Referências

- ANDRIOTTI, J. L. S. Fundamentos de estatística e geoestatística. [S.l.: s.n.], 2003.
- CAMARGO, E. C. G.; FUCKS, S. D.; CÂMARA, G. Análise espacial de superfícies. Análise espacial de dados geográficos. Planaltina: Embrapa Cerrados, p. 79–122, 2004.
- BRASIL, S. G. do et al. Relatório de conjuntura dos recursos hídricos 2013. Agência Nacional de Águas (ANA), 2013.
- R Core Team. R: A Language and Environment for Statistical Computing. Vienna, Austria, 2017. Disponível em: <<https://www.R-project.org/>>.
- CHEN, Y.-C.; YEH, H.-C.; WEI, C. Estimation of river pollution index in a tidal stream using kriging analysis. International journal of environmental research and public health, Molecular Diversity Preservation International, v. 9, n. 9, p. 3085–3100, 2012.

Кириллические символы также могут быть использованы в математическом режиме. Мокін, ВБ е Крижановський, ЄМ е Семчук, ІОС. Удосконалення методу ординарного кригінгу геостатистичного аналізу для моделювання якості вод у річці з урахуванням її звивистості. ВНТУ, 2011.

OBRIGADO !

Rio Doce - Zé Geraldo

Deposito em suas águas meu grande segredo
Parto pra cruzar fronteiras, engrossar fileiras

Compor meu enredo
Deixo suas margens ricas sob a sombra lírica da
Ibituruna
Una, pobre sabiá que perdeu seu canto de frases
ligeiras

Por ver se apagar a ilusão ardente
Tão inconseqüente da paixão primeira

Oh! Meu Rio Doce, doce são os seios da morena
flor
Cor do seu Ipê
Que vive sob as gameleiras, pés de jenipapo

Junto de você
Leva essa morena no seu leito manso
Faz o seu remanso se vestir de azul